

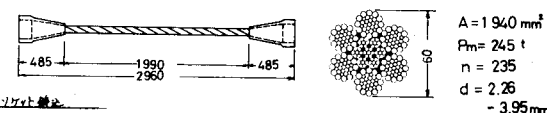
本州四国連絡橋公団 正員 奥川淳志  
同 正員 田島二郎  
建設機械化研究所 本郷慎一

### 1. まえがき

これまでの吊橋は道路橋であるのが一般的で、吊橋を構成する要素の1つであるハンガーローポに關しても疲労強度が設計の対象となることは少なかつ。一方、当公団が建設を計画している吊橋のうち半数は道路鉄道併用吊橋であり、橋の併用期間中に約5~800万本の列車の通行が見込まれるなど、これまで吊橋と趣きを異にする点がある。このためハンガーローポの設計に際して、その疲労特性を考慮して安全性の確認を行なう必要が生じた。本報告はハンガーローポの設計に必要な基礎資料を得るために直径60mmのワイヤロープを用いて行なった静引張り試験および疲労試験について述べるものである。

### 2. 使用試験機および供試体

静引張り試験は最大容量300tのアムスラー式横形引張試験機を用い神鋼鋼線工業において行なった。疲労試験は建設機械化研究所において、電気油圧式試験機(容量: 静的600t, 動的400t)を用いて行なった。

試験に使用したワイヤロープはCFRC型、 $\text{X} \times 7 + b \times W8(31)$ のもので、引張強さ約170kg/mm<sup>2</sup>の亜鉛メッキ鋼線235本を約480mmのロープで組んだものである。供試体は図-1に示すように両端にソケット付けてあり、疲労試験用として鍛込み温度460°Cのものab体、480°Cのもの2体、静引張り試験用として460°Cのab2体を用意した。また供試体のソケット間ローポ長は疲労供試体では約2m、静引張り供試体は約3.3mで、それよりロープの4倍および7倍程度としている。  


### 3. 試験

静引張り試験は122tの荷重で10回後30t~60tで数回繰返し、その間GL=2mで伸び測定を行ない、伸びが安定した後切斷まで至らしめ、切斷荷重と破断時伸びを測定した。

疲労試験は120tの荷重で10回後、荷重制御の正弦波荷重E180~300CPMで載荷した。試験中一定回数の繰返し毎に静試験を行ない、ワイヤのソケットからの抜け出しやローポの伸びの変化を測定した。ローポ素線の疲労破断寸断線数は装置により求め、累積断線数と繰返し数の関係を把握した。また一部の供試体については、疲労試験後の残留引張り強度をもとめるために静引張り試験を実施した。

### 4. 試験結果と考察

#### 4-1 静引張り試験結果

21本の引張試験結果にはほとんど差はない、切断荷重は275t、より減り11.5%である。

したがってローポの弾性係数は10回テニ時13600kg/mm<sup>2</sup>程度であるが、4~5回の繰返し後14300kg/mm<sup>2</sup>程度で安定する。またローポの切断時伸びは平均8.4%である。

4-2 疲労試験結果

疲労試験の結果は表-1に示すとおりである。

表-1 疲労試験結果

| 番号   | 鍛込み<br>温度 | 荷重(t) |     | 応力(kg/mm <sup>2</sup> ) |     | 繰返し<br>回数(x10 <sup>3</sup> ) | 切断<br>荷重 | 切断<br>伸び  |
|------|-----------|-------|-----|-------------------------|-----|------------------------------|----------|-----------|
|      |           | 上限    | 下限  | 上限                      | 下限  |                              |          |           |
| I-1  | 460°C     | 61.5  | 3.5 | 31.7                    | 1.8 | 29.9                         | 66       | 223.7 62  |
| I-2  | 460°C     | 61.5  | 3.5 | 31.7                    | 1.8 | 29.9                         | 28       | 915.6 120 |
| I-3  | 460°C     | 60.5  | 4.5 | 31.2                    | 2.3 | 28.9                         | 52       | 813.0 88  |
| I-4  | 460°C     | 31.0  | 4.0 | 16.0                    | 2.1 | 13.9                         | 130      | 4000 7    |
| I-5  | 460°C     | 46.0  | 4.0 | 23.7                    | 2.1 | 21.6                         | 646      | 2565 126  |
| I-6  | 460°C     | 46.0  | 4.0 | 23.7                    | 2.1 | 21.6                         | 726      | 3470 4    |
| II-1 | 480°C     | 46.1  | 3.9 | 23.8                    | 2.0 | 21.8                         | -        | 2230 0    |
| II-2 | 480°C     | 46.3  | 3.7 | 23.9                    | 1.9 | 22.0                         | 473      | 3890 18   |

- 1) 素線破断進行状況 図-2に断線検出装置によって検出した累積断線数と繰返数の関係を示す。これはより素線破断は5本程度までゆっくりと進行するが、その後は急速的に断線が生じ、さらには10~20%を過ぎるとその速度はさらに速くなることが判る。
- 2) 素線破断の分布 断線が供試体にどのように分布しているか試験後ローラーを解体し調査した。その結果は表-2のようにならられる。

供試体Ⅰではソケット内部と大多數が断線し、その位置はソケットより50~100mm内側であり鋸込み合金の境であった。一方供試体Ⅱではソケット内に断線は生じていなかった。また表-2によると、芯ストランドと外層ストランドでの断線数はほぼ等しいが、構成素線数が約186という割合を考えると芯ストランドの方が疲労に対して厳しい条件下にあると思われる。

- 3) 弹性係数とローラーの抜け出し量の変化 図-3に疲労試験の間にローラーの伸び測定の結果より、弾性係数の変化の様子とソケットからローラーの抜け出し量の変化を示した。弾性係数は一部繰返数とともに増加する傾向にあるものもあるが全体としては14000kg/mm<sup>2</sup>を平均として±1000kg/mm<sup>2</sup>程度の範囲で変動し、顕著に弾性係数が変化することはないと考えてよい。またローラーの抜け出しについては、アリテン荷重時に6~8mm抜け出(以後荷重の繰返しに伴なう変化はほとんどなく安定している)。

- 4) 残留引張強度 疲労試験後行なった静引張試験の結果を表-3に示す。I-3を除いて素線の疲労断線数は少なく、6%程度までみたが引張強度は疲労試験を行なわぬ供試体とほぼ等しく、この程度の断線はローラーの引張特性に大きな影響を及ぼすことはない。ただ伸びについては約3%減少しているもの(I-6)があり、また弾性係数は全体に高くなっているようである。一方I-3の試験結果より引張荷重は断線率に等しい程度減少しており伸びも大変小さくなっている。

- 5) CFR C型ハンガーローラーの疲労強度 ワイヤーローラーの疲労強度は一般に初断線時の時間強度を考える傾向にあるが、上述するとおり織物の素線から構成されたローラーの場合、5%程度の素線破断はローラーの強度にほとんど影響せず、またローラーの製作のバラツキを考えた場合適当とは言えない。それ故ニコでは5%程度の素線破断時をローラーの疲労破断と考えS-N線図を作図すると図-4のようになる。

これより、CFR C型60中ハンガーローラーの200万回疲労強度は19

$\text{kg/mm}^2$ となり、DIN 1073に規定された强度20kg/mm<sup>2</sup>に近い結果が得られた。

なお、本試験を行なうにあたり、神戸製鋼(株)の広中氏および神鋼鋼線工業(株)の植口氏の協力を得た。記して謝意を表す。

文献1) 広中、植口、奥川「ローラーの疲労試験における断線検出について」第30回国会全国大会概要集I-119 工木学会 850

表-2 素線断線分布

| 番号   | 位置<br>寸法<br>外別 | ソケット内部 |    |    |    | ローラー部 |  |
|------|----------------|--------|----|----|----|-------|--|
|      |                | 上      | 下  | 上端 | 下端 | 中央    |  |
| I-1  | 芯              | 1      | 36 | 0  | 1  | 3     |  |
|      | 外層             | 3      | 17 | 0  | 0  | 0     |  |
| I-2  | 芯              | 41     | 1  | 16 | 1  | 6     |  |
|      | 外層             | 53     | 0  | 8  | 0  | 4     |  |
| I-3  | 芯              | 0      | 29 | 0  | 4  | 0     |  |
|      | 外層             | 1      | 43 | 0  | 8  | 0     |  |
| II-2 | 芯              | 0      | 0  | 0  | 0  | 1     |  |
|      | 外層             | 0      | 0  | 0  | 0  | 14    |  |

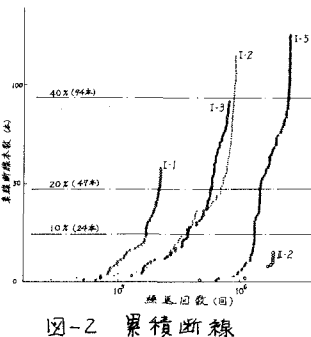


図-2 累積断線

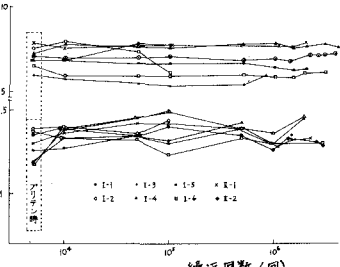


図-3 弹性係数と抜け出し量の変化

表-3 残留引張強度試験結果

| 番号   | 素線破断数<br>率(%) | 切断荷重<br>ton | 伸び<br>減少率(%) | 弾性係数<br>(kg/mm²) |
|------|---------------|-------------|--------------|------------------|
| 静引張  | —             | 275         | —            | 14400            |
| I-3  | 85 36.2       | 188         | -31.6        | 14100            |
| I-4  | 7 3.0         | 280         | 1.8          | 16000            |
| I-6  | 4 1.7         | 271         | -1.5         | 15500            |
| II-1 | 0 0           | 282         | 2.5          | 16000            |
| II-2 | 15 6.4        | 270         | -1.8         | 13700            |

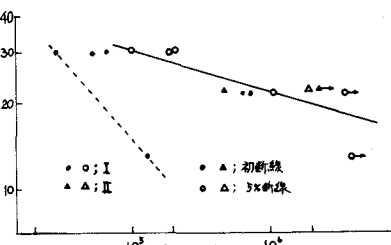


図-4 ローラーの疲労強度線図